

# 立体アーチの振動性状について

神戸大学工学部 正員 桜井春輔  
兵庫県庁 正員 ○堀井泰治

## 1. まえがき

ここで解析の対象とする立体アーチの見取図は、図-1に示すような円形中空断面を有するバスケットハンドル型立体アーチ(開き角: $\alpha$ )である。従来の平面アーチとは異なり、中空有することにより、構造上、振動性状がかなり特異なものになると思われる。そこで、振動に関する基本問題としての固有値、固有モードに関して、マトリックス変位法を用いて数値解析を行なう。ここでは、アーチのライズ比: $\frac{h}{R}$ 、アーチの細長比: $\frac{R}{r}$ ( $r$ =断面外半径)の変化が、固有振動数におよぼす影響を考えることにする。特に、前述の開き角: $\alpha$ による影響を述べてみたい。なお、数値計算には、京都大学大型計算機センターの FACOM 230-60 を用い、固有値、固有ベクトルの計算法としては、Q 法を用いた。

ヤング率:  $E = 21 \times 10^9 \text{ N/mm}^2$   
剛性係数:  $G = 0.8 \times 10^9 \text{ kg/cm}^2$   
単位質量:  $\rho = 7.85 \times 10^3 \text{ kg/m}^3$

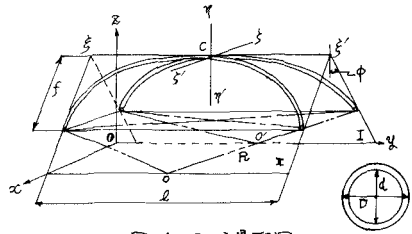


図-1 アーチ見取図 部分断面

## 2. 解析モデルおよび基礎方程式

図-2に示すような12要素の直線梁の集合体と考えたモデルに関して、各梁要素について、局部座標系での剛性、質量マトリックスを導き、それらに座標変換マトリックスを用いて全体座標系での剛性、質量マトリックスを導く。それらを[K], [M]とすると、自由振動では、次式のような運動方程式が成り立つ。

$$[M] \cdot [\ddot{u}] + [K] \cdot [u] = 0 \quad (2-1)$$

自由振動で、各節点は、同位相で振動するので、

$$[u] = [u_0] \cdot \sin \omega t, \quad [\ddot{u}] = -\omega^2 [u_0] \cdot \sin \omega t \quad (2-2)$$

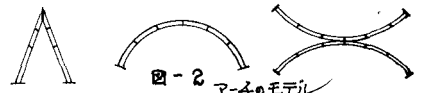


図-2 アーチモデル

とおくと、これを(2-1)に代入して整理すると、(2-3)のようになる。これに、無次元化を施すこと、結果として用いる無次元固有値:  $\omega^*$  は(2-4)のようになる。

$$| [M] \cdot \omega^2 - [K] | = 0 \quad (2-3)$$

$$\omega^* = \sqrt{\frac{PAK}{EI}} \cdot \omega \quad (2-4)$$

ただし  $A$  = 断面積,  $g$  = 重力加速度

$I$  = 断面2次モーメント

この(2-3)にQ 法を適用して、固有値、固有モードを計算すればよい。

## 3. 数値解析結果

図-3に示したのは、固有基準振動モードである。 $\varphi_1, \varphi_2, \varphi_3, \text{SYM}_1$  はそれぞれ、面外、面内、ねじれ、対称振動モードであり、特別な中、 $\varphi_1, \varphi_2, \varphi_3$ 以外は、 $\varphi_1, \varphi_2$  振動が卓越して生じるので、これらについて主に述べる。

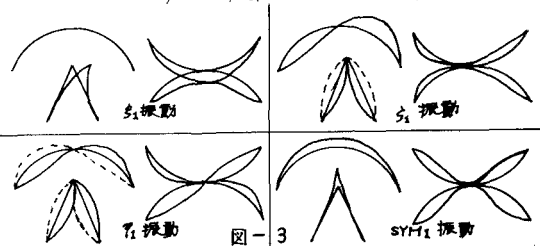


図-4には、それぞれ $\frac{f}{f_0} = \frac{1}{6}, \frac{1}{10}$ の場合の各基本振動モードに対する中立と $\omega^*$ との関係を示したものである。これによると、固定、ヒンジ共に、同様の傾向がみられる。すなわち、 $\omega_1$ 振動は、中の增加に従って、单调増加し、 $\omega_2$ 振動では、ほぼ一定の値になつてゐる。これより、中立が増加するにつれて、構造全体の剛度が増すと思われる。表-1には、 $\omega_1, \omega_2$ 振動の振動数を、各中立について、 $D = 50\text{ cm}, d = 48\text{ cm}$ の場合について表示したものである。図-4の傾向は、 $\frac{f}{f_0}$ が異なる場合も、ほぼ同様の傾向にある。しかし、図-5の $\frac{f}{f_0} = \frac{1}{4}$ の場合は、 $\phi = 30^\circ \sim 45^\circ$ での傾向が、図-4と異なつてゐる。すなわち、 $\omega_1, \omega_2$ 振動とも、振動数が減少して、剛度が減じてゐる。また、 $\phi = 15^\circ$ 以上のヒンジ支承では、 $\omega_1$ 振動の方が、 $\omega_2$ 振動よりも振動数が小さくなる。次に、図-6に示したのは、 $\frac{f}{f_0} = \frac{1}{10}$ の $\omega_1$ 振動における、 $\frac{f}{f_0}$ と $\omega^*$ との関係を各中立について表したものである。

これからみると、 $\frac{f}{f_0} = 200$ 以上では、ほぼ一定の $\omega^*$ をとるが、 $\frac{f}{f_0} = 10 \sim 150$ では、小さくなつてゐる。そして、 $\frac{f}{f_0} = 50$ では、 $\frac{f}{f_0} = 200$ 以上の場合とはほぼ同様な値を示してゐる。この傾向は、 $\omega_1$ 振動でも同様であり、また、 $\frac{f}{f_0} = \frac{1}{4}, \frac{1}{6}, \frac{1}{10}$ もよく似た傾向になつてゐる。図-4は、 $\omega_2$ 振動、 $\omega_1$ 振動に関する、 $\frac{f}{f_0}$ と $\omega^*$ との関係を、各中立について示したものである。これから、 $f$ を一定として、 $f$ の値を増加させるとつれ、 $\omega^*$ が单调に減少してゐる。これらの傾向も、 $\frac{f}{f_0} = 200, 50, 300$ でも同様の傾向にある。しかし、 $\omega_1$ 振動の $\frac{f}{f_0} = 150, 200, 300$ で、かつ、 $\phi = 45^\circ$ の場合のみ、少々異なつてゐる。

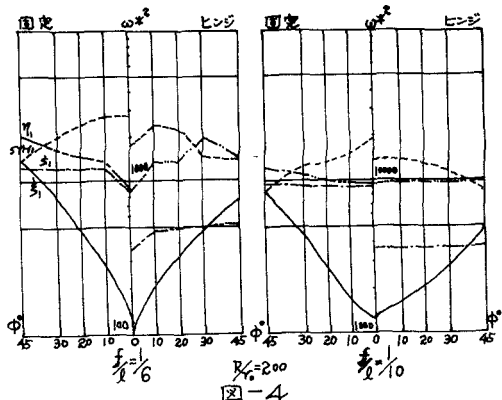


図-4

表-1 基本振動数 (C/sec)

$\frac{f}{f_0}$	0	10	20	30	45
$\frac{1}{6}$	0.11	0.13	0.17	0.21	0.28
$\frac{1}{4}$	0.34	0.38	0.48	0.57	0.39
$\frac{1}{3}$	0.58	0.80	0.99	1.22	1.56
$\frac{1}{2}$	2.03	2.16	2.94	3.12	3.48

$D=50\text{cm}, d=48\text{cm}$

$\frac{f}{f_0}$	0	10	20	30	45
$\frac{1}{6}$	0.14	0.14	0.14	0.15	0.17
$\frac{1}{4}$	0.34	0.54	0.55	0.59	0.48
$\frac{1}{3}$	1.08	1.23	1.25	1.27	1.30
$\frac{1}{2}$	3.54	3.47	2.03	3.51	2.56

$D=50\text{cm}, d=48\text{cm}$

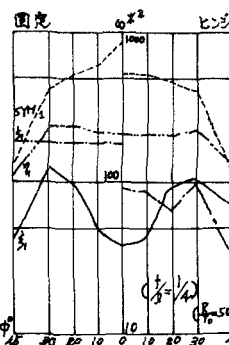


図-5

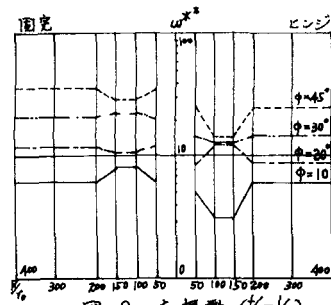


図-6  $\omega_1$ 振動 ( $\frac{f}{f_0} = \frac{1}{10}$ )

